

# دانشور

## پژوهشی

### تئیه و تخلیص آنتی بادی منوکلونال علیه آنتی زن لیپوآرابینومان مانوزیله مایکوباکتریوم بویس

نویسنده‌گان: رسول موخواه<sup>۱\*</sup>، محمد تقی خانی<sup>۲</sup>، علیرضا خیری<sup>۳</sup> سید عطاءالله  
سادات شاندیز<sup>۱</sup>

۱. کارشناس ارشد، بخش تحقیقات ب ث ژ، مجتمع تولیدی- تحقیقاتی انسیتوپاستور ایران، کرج، ایران
۲. استاد، گروه بیوشیمی بالینی، دانشکده علوم پزشکی داشگاه تربیت مدرس، تهران، ایران
۳. استادیار، گروه انگل شناسی، انسیتوپاستور ایران، تهران، ایران

E-mail: r\_moukhah@yahoo.com

\* نویسنده مسئول:

#### چکیده

مقدمه و هدف: لیپوآرابینومان مانوزیله (ManLAM) از آنتی زن‌های گلیکولیپیدی است که در صد قابل توجهی از دیواره سلولی باکتری مایکوباکتریوم بویس ب ث ژ را تشکیل می‌دهد. نظر به اینکه تولید آنتی بادی منوکلونال آن، به ویژه در طراحی کیت تشخیص سریع بیماری سل کاربردهایی فراوان دارد، لذا هدف از تحقیق حاضر، تولید آنتی بادی منوکلونال ضد این آنتی زن می‌باشد.

مواد و روش کار: پس از تزریق‌های منظم موش‌های c/BCG با BALB/c سونیکیت شده، آنتی زن LAM، تیتر آنتی بادی تولید شده بررسی گردید. لنفوسیت‌های طحالی موش‌ها و سلول‌های میلومای Sp2/0 با کمک پلی‌اتیلن‌گلیکول امتزاج داده شدند. سلول‌ها در محیط HAT انتخاب شدند و کلون‌های مولد آنتی بادی ضد آنتی زن LAM با استفاده از آزمون الایزا شناسایی شدند؛ پس از تخلیص آنتی بادی منوکلونال، شناسایی آنتی زن‌های لیپوآرابینومان مانوزیله و BCG سونیکیت شده با روش وسترن بلاستینگ انجام گرفت.

نتایج: تعداد ۲ کلون H1-3D3، H2-3B9 مولد آنتی بادی اختصاصی با جذب بالا در آزمایش الایزا، انتخاب شدند. نتایج وسترن بلاستینگ، باند ۳۰ کیلو دالتونی مربوط به آنتی زن‌های لیپوآرابینومان مانوزیله و BCG سونیکیت شده با استفاده از آنتی بادی‌های منوکلونال IgM و IgG<sub>3</sub> را تأیید می‌کرد.

نتیجه گیری: نتایج نشان داد که امکان تولید و تخلیص آنتی بادی منوکلونال با استفاده از امتزاج لنفوسیت‌های B طحال موش‌های ایمن شده و سلول‌های میلوما وجود داشته، تأیید واکنش اختصاصی آنتی بادی مذکور قبل از انجام مطالعات تشخیصی در شناسایی سریع سل در ادرار بیماران و بررسی‌های مصونیت‌زایی واکسن ب ث ژ مورد توجه خواهد بود.

واژگان کلیدی: لیپوآرابینومان مانوزیله، مایکوباکتریوم بویس، آنتی بادی منوکلونال

دوماهنامه علمی- پژوهشی  
دانشگاه شاهد  
سال هیجدهم- شماره ۹۱  
اسفند ۱۳۸۹

دربافت: ۸۹/۹/۱۶  
آخرین اصلاح‌ها: ۸۹/۱۰/۲۱  
پذیرش: ۸۹/۱۰/۲۲

## مقدمه

ماکروفائزها، مهار تولید سایتوکاین های TNF- $\alpha$ , IL-12، مهار آپوپتوز ماکروفائزهای آلوده است. تولید آنتی بادی منوکلونال ضد آنتی ڈن لیپوآرایینومان مانوزیله، کاربردهای فراوانی دارد که از آن جمله می توان به طراحی کیت تشخیص سریع برای شناسایی بیماری سل از طریق ادرار، اشاره کرد (۱۳). کاربرد آنتی بادی های منوکلونال ضد شاخص های آنتی ڈنی خاص در حوزه های مختلف زیستی از اهمیتی ویژه برخوردارند، برای نمونه می توان به آزمایش های تشخیص طبی، میکروبیولوژی، ایمنوتراپی سرطان، ایمنوہیستوشیمی، ایمنوہیستوشیمی و ... اشاره کرد که در تمامی موارد مذکور، پاتن های تک کلون اهمیتی ویژه دارند (۱۵، ۱۶). یکی از متداول ترین روش های تولید انبوه آنتی بادی های منوکلونال، امتزاج لنفو سیتی های B طحال موش ایمن شده و سلول های میلوما است. نظر به اینکه روش های PCR و تشخیص کشت میکروبی برای شناسایی بیماری سل، به زمان و هزینه ای بالا نیاز دارند، هدف از این تحقیق، تھیه و تخلیص آنتی بادی منوکلونال ضد آنتی ڈن لیپوآرایینومان مانوزیله بوده، که از این روش بتوان کیت تشخیصی مناسبی برای شناسایی مایکوباکتریوم توبرکلوزیس از طریق ادرار بیماران طراحی کرد.

## مواد و روش کار

موش های BALB/c این تحقیق از مرکز پرورش و نگهداری حیوانات آزمایشگاهی انتیتیو پاستور ایران واقع در کرج تھیه شد. واکسن BCG از انتیتیو پاستور ایران، آنتی ڈن لیپوآرایینومان و تمامی مواد شیمیایی از شرکت های Sigma و Merck خریداری شدند.

تزریق BCG به هر موش، در نوبت اول به صورت داخل صفاتی انجام گرفت. غلظت  $10\text{ }\mu\text{g/ml}$  از BCG سونیکیت شده در بافر PBS تھیه شد. سپس، ۱ میلی لیتر از این محلول با ۱ میلی لیتر ادجوانات ناقص فروند به خوبی مخلوط شد تا غلظت  $5\text{ }\mu\text{g/ml}$  از BCG سونیکیت شده حاصل شود. در فواصل بین تزریق ها و در زمانی، حدود دو هفته پس از تزریق اول، به منظور ارزیابی میزان پاسخ

لیپوآرایینومان مانوزیله (ManLAM) یک آنتی ڈن گلیکولپیدی دیواره سلولی باکتری مایکوباکتریوم بویس 1173P2 (Mycobacterium Bovis BCG) (سویه ۱) است که بخشی عمدۀ از دیواره را به خود اختصاص داده است. از مهم ترین عملکردهای این آنتی ڈن می توان به توقف بلوغ فاگوزوم ها، مهار مسیر پیام رسانی IFN- $\gamma$  برداشت رادیکال های آزاد اکسیژن و مهار پروتئین کیناز  $\epsilon$  سلول میزبان اشاره کرد (۱). اولین بار هانتر و همکارانش ساختمان این آنتی ڈن را توصیف کردند. طی سال های اخیر، محققان بررسی های مختلفی روی عملکرد، ساختمان و ساختار آنتی ڈنیستیه لیپوآرایینومان مانوزیله انجام داده اند (۴، ۵، ۶، ۷). این آنتی ڈن دارای وزن ملکولی ۱۷ تا ۳۸ کیلو دالتون (۷) و یکی از عوامل مهار کننده سیستم ایمنی میزبان به شماره می رود (۲). وجود این آنتی ڈن در BCG یکی از عواملی است که مصنونیت زایی این واکسن را کاهش می دهد. اجزاء تشکیل دهنده ساختمان این آنتی ڈن شامل موارد زیر است: لنگر فسفاتیدیل اینوزیتول در غشاء باکتری، پلیمر هایی از قند مانوز، آرایینوز و همچنین کلاهکی که در انتهای آنتی ڈن قرار دارد (۹، ۱۰، ۱۱). مایکوباکتریوم های مختلف، کلاهک های متفاوتی دارند، به طوری که در گونه های تند رشد غیر بیماری زا مانند مایکوباکتریوم اسمگماتیس - کلاهک از نوع فسفاتیدیل اینوزیتول بوده، در گونه های کند رشد بیماری زایی چون: مایکوباکتریوم بویس، مایکوباکتریوم توبرکلوزیس و مایکوباکتریوم لپره، کلاهک از نوع قند مانوز است که تعداد آنها در گونه های بیماری زا تفاوت دارد؛ دسته سومی هم در مایکوباکتریوم چگونه وجود دارد که فاقد کلاهک معرفی شده اند که لیپوآرایینومان در آنها آرایینوزیلات لیپوآرایینومان (AraLAM) نام دارد (۱۲). آنتی ڈن لیپوآرایینومان مانوزیله در بیمارانی که سل فعل دارند، از طریق ادرار دفع می شود؛ همچنین یکی از عوامل بیماری زایی مایکوباکتریوم ها محسوب می شود و دارای اعمالی مختلف چون: جلوگیری از فعال شدن

<sup>2</sup>TMB افزوده شد. پس از توقف واکنش و قرائت جذب نوری در طول موج ۴۵۰ نانومتر هیریدهای مثبت از لحاظ وجود آنتی بادی انتخاب شد؛ سپس رقت سازی متواالی برای به دست آوردن کلون سلولی انجام گرفت (به طوری که در هر چاهک یک سلول هیریدوما قرار گیرد).

تعیین کلاس و زیر کلاس آنتی بادی ها: پس از انتخاب چاهک های ترشح کننده آنتی بادی اختصاصی ضد BCG و آنتی ژن لیپو آرایینومان مانوزیله، کلاس و زیر کلاس آنها بررسی شدند؛ در این مرحله چاهک هایی که آنتی بادی علیه آنتی ژن لیپو آرایینومان مانوزیله ترشح می کردند شناسایی شده. کلاس و زیر کلاس های کلون ها به روش Capture ELISA مشخص شد؛ بدین ترتیب که آنتی سرم های ضد  $\alpha_{2a}, \alpha_{2b}, \alpha_{1}, \alpha_{M}$  مربوط به ایمونو گلوبولین موش موجود در کیت ISO-2 از شرکت سیگما، با PBS به میزان ۱:۱۰۰۰ رقیق گردید. ۵۰ میکرو لیتر در هر چاهک پلیت الایزا افزوده شد و پس از پوشاندن چسب روی پلیت، در دمای ۳۷ درجه سانتی گراد به مدت یک ساعت انکوبه شد. پلیت الایزا سه مرتبه با بافر شستشو (PBS-Tween20) شسته شد. مقدار ۱۰۰ میکرو لیتر از سوب کشت کلون های رشد یافته به هر چاهک اضافه شد (از سرم موش قبل از فیوژن با رقت ۱:۱۰۰۰ و سرم موش ایمن شده با رقت ۱:۱۰۰۰ به عنوان کنترل مثبت و از سوب کشت سلول های SP2/0 به عنوان کنترل منفی استفاده شد)؛ دوباره پلیت الایزا با چسب پوشانده شده و انکوباسیون در دمای ۳۷ درجه سانتی گراد به مدت یک ساعت برای آن اعمال شد. پس از سه مرتبه شستشو، ۱۰۰ میکرو لیتر از آنتی بادی کنثو گه HRP-Labeled Goat Anti-Mouse IgG (Fab specific antibody) رقیق شده با نسبت ۱:۶۰۰۰ در بافر شستشو، به هر چاهک اضافه شد، به طور مجدد انکوباسیون در دمای ۳۷ درجه به مدت ۳۰ دقیقه و شستشو در سه مرحله انجام شد. ۱۰۰ میکرو لیتر از سوب استرای TMB به هر چاهک پلیت اضافه شد و در دمای اتاق و تاریکی به

سیستم ایمنی نسبت به آنتی ژن، آزمون الایزا انجام شد؛ تزریق دوم BCG سونیکیت شده مانند تزریق اول چهار هفته بعد انجام شد؛ پانزده روز پس از تزریق دوم، پاسخ ایمنی موش ارزیابی و در این مرحله، آزمون الایزا برای BCG و لیپو آرایینومان مانوزیله گذاشته شد سپس موشی که بهترین پاسخ را به هر دو آنتی ژن داده بود برای تزریق سوم انتخاب شد و سه تا پنج روز قبل از فیوژن با سلول های میلوما، ۰/۲ میلی لیتر آنتی ژن لیپو آرایینومان مانوزیله با غلظت ۴ میکرو گرم در میلی لیتر که در PBS تهیه شده بود، از طریق دم تزریق گردید؛ در مرحله بعد، موش انتخاب شده کشته شد و سلول های طحال آن به نسبت ۳ به ۱ یا ۱۰ به ۱ با سلول های میلوما ۰/۰ Sp2/0 با کمک پلی اتیلن گلیکول (PEG) ۵۰ درصد (از شرکت سیگما) ادغام شدند؛ بعد از این مرحله، سلول ها در محیط انتخابی HAT<sup>۱</sup> قرار داده شده، در چاهک های متعددی تقسیم شدند. پس از فیوژن و تقسیم بندی هیریدهای ۹۶ خانه ای و کشت آنها، غربالگری چاهک ها از پلیت ترشح ایمونو گلوبولین انجام گرفت. بدین ترتیب که پلیت با آنتی بادی ضد ایمونو گلوبولین موش پوشانده شد. پس از شستشو، سوب محیط کشت حفرات حاوی هیرید به خانه های پلیت اضافه گردید. از سرم موش ایمن شده با آنتی ژن با رقت ۱:۱۰۰۰ در بافر شستشو به عنوان کنترل مثبت و محیط کشت کشت کامل (شامل محیط کشت ۰۱۶۴۰ (Sigma) (RPMI-1640) حاوی ۲ میلی مولار ال ۱۰۰ گلو تامین، ۱۰۰ واحد در میلی لیتر پنی سیلین، ۱۰۰ میکرو گرم بر حسب میلی لیتر استرپتومایسین و ۱۰ درصد سرم جنین گوساله (FCS) به عنوان کنترل منفی استفاده گردید. پلیت به مدت ۹۰ دقیقه در ۳۷ درجه انکوبه و سپس سه تا چهار مرتبه با بافر شستشو، شسته شد. به تمام حفرات پلیت میزان ۱۰۰ میکرو لیتر آنتی بادی کنثو گشده با horseradish peroxidase ضد موش (۱:۴۰۰۰ در بافر شستشو رقیق می گردد) افزوده شد؛ پس از ۹۰ دقیقه انکوباسیون و شستشو به تمام حفرات بافر

### نتایج

در فیوژن انجام شده ۵۴ کلون به دست آمد که با میکروسکوپ نوری بررسی شدند. نتایج غربالگری هیریدهای ایجاد شده از لحاظ ترشح آنتی بادی موشی و نتایج ارزیابی هیریدهای ترشح کننده آنتی بادی اختصاصی ضد آنتی ژن BCG و لیپوآرایینومان مانوزیله در جدول شماره ۱ نشان داده شده است. از مجموع ۵۴ کلون فقط ۲۰ کلون ترشح کننده آنتی بادی بودند که از بین آنها به ترتیب کلون های H1-3D3 و H2-3B9<sup>+</sup> علیه آنتی ژن BCG و لیپوآرایینومان مانوزیله آنتی بادی ترشح می کردند؛ در این مرحله برای به دست آوردن کلونی با جذب بالا و ترشح کننده آنتی بادی، رروی کلون های H1-3D3 و H2-3B9<sup>+</sup> رقت های متواالی انجام گرفت. بدین ترتیب، کلاس و زیر کلاس آنتی بادی های آنها تعیین گردید که نتایج آن در جدول شماره ۲ آورده شده است. همان طور که مشاهده شد، دو ساب کلون H1-3D3-3E11 و H2-3B9-3G4<sup>+</sup> زیر کلاس آنتی بادی IgM و سه ساب کلون H1-3D3-2C9، H2-3B9-1G4<sup>+</sup> و H2-3B9-3F11 زیر کلاس IgG<sub>3</sub> را تولید می کنند که از بین آنها H1-3D3-3E11 و H2-3B9-1G4<sup>+</sup> با توجه به اینکه تک کلون اند و فقط یک نوع آنتی بادی ترشح می کنند، انتخاب شدند. پس از انجام مراحل تخلیص، باند مورد نظر با وزن مولکولی ۳۰ کیلو دالتونی مربوط به آنتی ژن ManLAM و BCG سونیکیت شده با استفاده از آنتی بادی منوکلونال IgM و IgG<sub>3</sub> از طریق روش وسترن بلاستینگ تأیید شد (شکل ۱).

مدت ۳۰-۲۰ دقیقه قرارداده شد. واکنش با افزودن ۵۰ میکرومیتر اسید کلرید ریک یک نرمال متوقف شد. جذب نوری در طول موج ۴۵۰ نانومتر قرائت شد.

### حالص سازی آنتی بادی منوکلونال با ستون

#### پروتئین A

ابتدا به صفاق ۵ سر موش ۰/۵ میلی لیتر Pristan و تعداد  $2 \times 10^5$  سلول زنده از تک کلون ترشح کننده IgG<sub>3</sub> تزریق شد، یک هفته بعد، مایع صفاق غنی از آنتی بادی مورد نظر جمع آوری گردید و از ستون پروتئین A (Protein A-Sepharose CL-4B) عبور داده شد. بر اساس این روش، مولکول های IgG<sub>3</sub> موجود در نمونه از طریق F.c خود به پروتئین A متصل شده، با شستشوی ستون، پروتئین های اضافه حذف می شوند؛ سپس با تغییر pH اتصال های آنتی بادی و لیگاند از بین رفته، آنتی بادی از ستون جدا می شود.

### وسترن بلاست

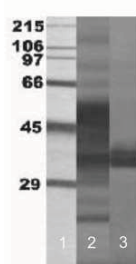
آنتی ژن های لیپوآرایینومان مانوزیله و BCG سونیکیت شده پس از جداسازی روی ژل ۱۰ درصد SDS-PAGE بر اساس یک روش استاندارد (۱۴) به غشاء نیتروسولولز منتقل شده، باندهای مربوط با افزودن آنتی بادی های منوکلونال IgG<sub>3</sub> و Sigma (Sigma) و آنتی بادی کنزوگه با DAB (Sigma) و محلول رنگزای DAB قابل رویت شدند.

جدول ۱: نتایج غربالگری هیبریدهای ایجادشده به دست آمده با روش الیزا در طول موج ۴۵۰ nm از لحاظ ترشح آنتی بادی موشی و نتایج ارزیابی هیبریدهای ترشح کننده آنتی بادی اختصاصی ضد آنتی ژن BCG و ManLAM

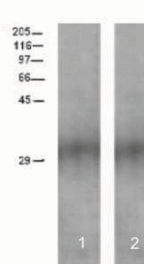
کلاس آنتی بادی	ضد BCG آنتی ژن	ضد Man-LAM	موشی	ترشح آنتی بادی نام هیبرید
γ <sub>1</sub>	۱	۰/۱۳	۱/۸	H1-1E8
γ <sub>2a</sub>	۲>	۰/۱۵	۲>	H1-2G3
γ <sub>1, γ 3, μ</sub>	۲>	۲>	۲>	H1-3D3
γ <sub>2a, γ 2b</sub> ,	۰/۳۵	۰/۱۸	۲>	H2-1B9
γ <sub>1, γ 2a, γ 2b</sub>	۰/۵	۰/۱۲	۱/۳	H2-1C2
γ <sub>2a, μ</sub>	۰/۹	۰/۱۵	۱	H2-2C7
γ <sub>1, γ 2a</sub>	۰/۸۹	۰/۱۶	۱/۷	H2-2E9
γ <sub>2a</sub>	۲>	۰/۰۹	۲>	H2-2G4
γ <sub>2a, γ 3, μ</sub>	۲>	۲>	۲>	H2-3B9
γ <sub>2a</sub>	۱/۹	۰/۰۵	۲>	H1-3D3
γ <sub>2b</sub>	۱/۵	۰/۱۸	۱/۸	H2-3E2
γ <sub>1, γ 3</sub>	۲>	۰/۰۴	۲>	H3-3F4
γ <sub>2b, μ</sub>	۰/۷۵	۰/۱۹	۱	H3-3F11
γ <sub>1</sub>	۰/۸	۰/۱۷	۱/۴	H3-3G5
γ <sub>1</sub>	۰/۳۵	۰/۱۰	۲>	H3-1B7
γ <sub>2b</sub>	۲>	۰/۱۵	۲>	H4-2D11
γ <sub>2a, γ 2b</sub>	۰/۴	۰/۱۳	۲>	H4-3B5
γ <sub>2b, μ</sub>	۰/۳۱	۰/۱۱	۱/۷	H5-2B10
γ <sub>1, γ 2a, γ 2b</sub>	۰/۹۵	۰/۰۸	۱/۹	H5-2F6
γ <sub>2b</sub>	۰/۸۷	۰/۱۷	۲>	H5-4C2
γ <sub>1, γ 2a, γ 2b, μ, γ 3 α</sub>	۲>	۲>	۲>	کنترل مثبت*
—	۰/۱۴	۰/۱۳	۰/۱۵	کنترل منفی*

\* از سرم موش ایمن شده با آنتی ژن با رقت ۱:۱۰۰۰ در بافر شستشو به عنوان کنترل مثبت و محیط کشت کامل به عنوان کنترل منفی استفاده شد.

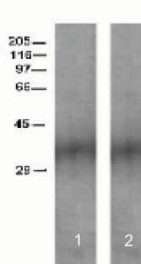
الف



ب



ت



شکل ۱ (الف): روش SDS-PAGE ۱۰ درصد با شاخص مولکولی (۱) و آنتی ژن های BCG (۲) و ManLAM (۳):

(ب) انجام وسترن بلاستینگ ضد BCG با استفاده از سوپ کشت کلون های مولد (۱) و IgG<sub>3</sub> (۲)

(ج) انجام وسترن بلاستینگ ضد ManLAM با استفاده از سوپ کشت کلون های مولد (۱) و IgG<sub>3</sub> (۲)

جدول ۲: کلاس و زیرکلاس‌های به دست آمده از سابکلون‌های H1-3D-3 و H2-3B9 و انجام تست الایزا برای انتخاب سابکلون‌هایی که به طور اختصاصی ضد ManLAM و BCG و BCG آنتی بادی ترشح می‌کنند

BCG	LAM	IgG1	IgG2a	IgG2b	IgG3	IgA	IgM	کلاس و زیر کلاس	
								کلون	
۰/۳۴	۰/۰۱	۰/۱۱	۰/۰۳	۰/۰۱	۰/۸۷	۰/۱۱	۰/۱۷		H1-3D3-1E8
۱/۱۲	۰/۰۳	۱/۱	۰/۱۳	۰/۰۳	۰/۳	۰/۱۴	۰/۱۳		H1-3D3-2E8
۰/۴۷	۰/۱۹	۰/۱۳	۰/۱۱	۰/۱۴	۰/۰۹	۰/۱۱	۰/۱۷		H1-3D3-5F6
۱/۸۴	۱/۷	۰/۱۶	۰/۱۳	۰/۱۳	۰/۱۱	۰/۱۳	۱/۹		H1-3D3-3E11
۰/۴	۰/۱۸	۰/۱۲	۰/۱۳	۰/۱۱	۱/۶	۰/۱	۰/۰۵		H1-3D3-2C2
۱/۲۳	۰/۱۲	۰/۱۶	۰/۱۲	۰/۱۸	۰/۲۵	۰/۱۳	۰/۱۱		H1-3D3-5B6
۰/۳۷	۰/۱۶	۰/۱۸	۰/۱۷	۰/۱۹	۰/۲۲	۰/۱۷	۰/۰۴		H1-3D3-5C2
۰/۲۱	۰/۱۵	۰/۱۶	۰/۰۹	۰/۱۷	۰/۱۵	۰/۱۸	۰/۱۷		H1-3D3-5G3
۱/۱۹	۱	۰/۱۴	۰/۱۶	۰/۰۴	۲>	۰/۱۳	۰/۱۴		H1-3D3-2C9
۰/۱۵	۰/۰۹	۰/۱۳	۰/۰۳	۰/۱۸	۰/۱۳	۰/۱۳	۰/۲۸		H2-3B9-4E4
۱/۸	۱/۱۳	۰/۱۵	۰/۱۱	۰/۱۱	۰/۱۶	۰/۰۷	۲>		H2-3B9-3G4
۱/۱۱	۰/۱۲	۰/۱۶	۱/۵۶	۰/۰۹	۰/۸۵	۰/۱۲	۰/۱۹		H2-3B9-3C9
۱/۳	۰/۱۵	۰/۱۱	۱/۴۷	۰/۱۷	۰/۱۹	۰/۱۵	۰/۱		H2-3B9-1B3
۰/۳۵	۰/۱۴	۰/۱۵	۰/۱۸	۰/۱۵	۰/۲۵	۰/۱۹	۰/۱۳		H2-3B9-2D9
۱/۸	۱/۱۲	۰/۱۷	۰/۱۳	۰/۱۳	۱/۸	۰/۱۵	۰/۲۵		H2-3B9-3F11
۱/۶	۱/۴	۰/۱۸	۰/۱۴	۰/۱۱	۲>	۰/۱۵	۰/۰۷		H2-3B9-1G4
۰/۴۷	۰/۱۱	۰/۱۶	۱/۱۰	۰/۰۶	۰/۱۴	۰/۱۷	۰/۱		H2-3B9-1G11
۰/۱۵	۰/۰۸	۰/۰۸	۰/۱۱	۰/۱۴	۰/۰۹	۰/۱۳	۰/۱۲	کنترل منفی SP2/0	سوپ کشت سلول
۰/۱۲	۰/۱۸	۲>	۲>	۲>	۲>	۲>	۲>	۱/۱۰۰۰	کنترل مثبت سرم موش بارقت
۲>	۲>	۲>	۲>	۲>	۲>	۲>	۲>	۱/۱۰۰۰	سرم موش قبل از فیوژن بارقت

## بحث

در این تحقیق مشخص شد که آنتی بادی‌های منوکلونال علیه آنتی ژن لیپوآراینومان مانوزیله از منشاء مایکوباکتریوم بویس BCG با کلاس و زیرکلاس نوع IgM و IgG<sub>3</sub> بوده، توانایی شناسایی آنتی ژن ۳۰ کیلodaltonی در BCG و کمپلکس آنتی ژنی LAM را دارند. تهیه آنتی بادی کلاس IgG<sub>3</sub> نشان‌دهنده تحریک اختصاصی سیستم ایمنی توسط آنتی ژن است با این حال برای بررسی وجود آنتی ژن مشابه با ابی توب یکسان در گونه‌های مختلف لازم است که واکنش‌های متقاطع با گونه‌های مختلف بررسی شود.

تاکنون سلول کامل مایکوباکتریوم تویرکلوزیس، آنتی بادی‌های منوکلنال را تهیه کرده بود که از بین سه آنتی بادی 4F11(IgM)، 5c11(IgM) و 9d8(IgG3) فقط

BCG ضد LAM است در حالی که در این تحقیق، آنتی بادی تهیه شده ضد آنتی ژن LAM با کلاهک مانوزی بوده، از نوع IgG<sub>3</sub> است (۲۱ تا ۲۱). به منظور تحریک سیستم ایمنی هومورال نیاز است که دیواره سلولی بسیار محکم BCG شکسته شود برای این منظور ما از BCG سونیکیت شده استفاده کردیم؛ در این حالت، سیستم ایمنی موش به خوبی ضد آنتی ژن لیپوآراینومان مانوزیله که قسمت عمدی دیواره را تشکیل-مدهد، تحریک می‌شود؛ از طرف دیگر، وجود دیواره متلاشی شده BCG نیاز ما را به استفاده از ادجوانات کامل مرتفع می‌کند. استفاده از ادجوانات ناقص برای ارائه آنتی ژن به مقدار مناسب و در طی زمان مناسب به منظور تحریک سیستم ایمنی ضروری است در غیر این صورت، آنتی ژن در بدن حذف شده، پاسخ مناسبی ضد آن داده-

باید دارای غلظت ۴۰ تا ۵۰ درصدی باشد در صورت غلیظتر بودن سمی و کشنده است و در صورت رقیقت- بودن راندمان ادغام کاهش می‌باید لازم به ذکر است که موقوفیت در این مرحله به مهارت فرد بستگی دارد.

شایان توجه است که گونه‌های مختلف مایکوباکتریومی، لیپوآرایینومانان‌های مختلفی دارند حتی در یک گونه، تعدادی متنوع از این آنتیژن وجود دارد. این آنتی‌بادی منوکلنان تهیه شده مربوط به سویه p2 ۱۱۷۳ BCG است که با انواع تهیه شده به صورت تجاری مایکوباکتریوم توبرکلوزیس تهیه شده، متفاوت است.

### نتیجه‌گیری

به منظور مطالعه آنتیژن از نظر ساختمانی و از نظر ایمونولوژیکی ضروری است که این آنتیژن جداسازی و تخلیص شود؛ بدین‌منظور، این آنتی‌بادی را می‌توان در کروماتوگرافی تمایلی استفاده کرد؛ در ضمن برای بررسی تاثیر بلوكه کردن آنتیژن لیپوآرایینومانان مانوزیله در افزایش کارایی واکسن BCG می‌توان از آنتی‌بادی منوکلنان تهیه شده، استفاده کرد.

از آنجاکه آنتیژن لیپوآرایینومان مانوزیله و کاربردهای ذکر شده در مورد استفاده از آنتی‌بادی منوکلنان در تشخیص سریع بیماری سل، بررسی نقش این آنتیژن روی سطح باکتری در تحریک سیستم ایمنی و وجود اپی‌توب یکسان این آنتیژن در گونه‌های مختلف بسیار اهمیت دارد، پیشنهاد می‌شود بررسی‌های بیشتری پس از تخلیص این آنتی‌بادی در جهت ایجاد کمترین واکنش متقاطع با گونه‌های دیگر مایکوباکتریوم انجام شود.

نمی‌شود. در این پژوهش از موش BALB/c ماده با سن چهار هفته استفاده شد، چون در این سن سیستم ایمنی موش کامل می‌شود.

دو هفته بعد از تزریق، مدت زمان لازم برای ارزیابی سیستم ایمنی تحریک شده بعد از اولین مواجهه با آنتیژن است. بعد از اطمینان از پاسخ ایمنی ضد آنتیژن، تزریق دوم هم با BCG سونیکیت شده انجام می‌شود تا سلول‌های خاطره‌ای ایجاد شوند؛ در تزریق سوم، ما از آنتیژن لیپوآرایینومانان مانوزیله استفاده کردیم تا سلول‌هایی که آنتی‌بادی ضد این آنتیژن را ترشح می‌کنند، تکثیر شوند. سلول‌های Sp2/0 که سلول‌های سرطانی BALB/c هستند به دلیل نامیرایی، عدم توانایی در تولید آنتی‌بادی و فقدان آنزیم‌های مسیر سنتز بازیافت نوکلئوتیدها (هیپوگزانین-گوانین فسفوریبوزیل ترانسفراز (HGPRT) و تیمیدین کیناز (TK)) استفاده شدن؛ این سلول‌ها به دلیل فقدان این دو آنزیم در محیط انتخابی HAT از بین می‌روند زیرا علاوه بر فقدان مسیر سنتز بازیافت (Salvage) نوکلئوتیدها، مسیر سنتز ازنو (Denovo) آنها توسط آمینوپترین موجود در HAT نیز مهار می‌شود و سلول قادر به همانندسازی نیست ولی در صورتی که این سلول‌ها با سلول‌های طحال ادغام شوند به دلیل کسب توانایی تولید HGPRT و TK از سلول‌های طحال قادر به ادامه همانندسازی از مسیر سنتز بازیافت نوکلئوتیدها هستند، همچنین توانایی تولید آنتی‌بادی را از سلول‌های طحالی کسب می‌کنند. در صورتی که سلول طحال با سلول می‌لوما ادغام شده باشد طی زمان می‌میرد.

از محدودیت‌های موجود در این روش می‌توان به پاسخ‌های متفاوت ایمنی (بسته به شدت و ضعف سیستم ایمنی) در افراد مختلف، اپی‌توب‌های متنوع آنتیژن، عدم اطمینان از جداسازی کامل سلول‌های مولد آنتی-بادی از طحال و تصادفی بودن امتزاج سلول مولد آنتی-بادی با سلول می‌لوما نامبرد. برای این منظور ما از تعداد ۱۰ موش استفاده کردیم که از بین آنها موشی را که پاسخ ایمنی بهتری به تزریق‌های آنتیژن داد، انتخاب- کردیم. پلی اتیلن گلیکول استفاده شده در امتزاج سلولی،

منابع

- منابع**

  - Anne Lise K, Hestvik, Hmama Z, Av-Gay Y, Mycobacterial manipulation of the host cell, FEMS Microbiology Reviews. 2005;29: 1041-1050.
  - Hunter S.W, Gaylord H, Brennan P.J, Structure and antigenicity of the phosphorelated lipopolysaccharide antigens from the leprosy and tuberculocle bacilli. J Biol Chem 1986; 261:12345-12351.
  - Besra G.S, Morehouse C.B, Rittner C.M, Waechter C J, Brennan P.J Biosynthesis of Mycobacterial Lipoarabinomannan. J OF Biological Chem. 1997; 272: 18460-18466.
  - David J, Gillooly L. Phosphoinositides and phagocytosis. j cell Biology. 2002;155:15-17.
  - Brennan PJ, Tessema, Hamasur B, Structure, function and biogenesis of cell wall of mycobacterium tuberculosis. Tuberculosis. 2003; 83:91-97.
  - Birch H. L, Alderwick L.J, Biosynthesis of mycobacterial arabinogalactan: identification of a novel  $\alpha(1\rightarrow3)$  arabinofuranosyltransferase Mol Microbiol. 2008; 69: 1191-1206.
  - Hamasur B, Kallenius G, Stefan B. A new rapid and simple method for large-scale purification of mycobacterial Lipoarabinomannan, FEMS Immun and Med Microb. 1999; 24:11-17.
  - Kaur D, Obregon A, Pham H, chatterjee D, Lipoarabinomannan of Mycobacterium: Mannose capping by a multifunctional terminal mannosyltransferase , PNAS. 2008 ;105 :17973-17977.
  - Karakousis, P. C., Bishai W. R., Dorman S. E.. Mycobacterium tuberculosis cell envelope lipids and the host immune response. Cell. Microbiol. 2004; 6:105-116.
  - Nigou J , Mamadoud Affe. The phosphatidyl myoinositol anchor of the Lipoarabinomannans from mycobacterium bovis bacillus calmette guerian. Biological chemistry 1997 ;37:23094-23103.
  - Hamasur B, Kallrnlys G, Stefan B. Synthesis and immunologic characterisation of Mycobacterium tuberculosis Lipoarabinomannan specific oligosaccharide-protein conjugates,Vaccine . 1999; 17:2853-2861.
  - Welin A,Winberg M E,Abdalla H, Sarndahl E, Rasmusson B, Stendahl O, et al. Incorporation of Mycobacterium tuberculosis Lipoarabinomannan into Macrophage Membrane Rafts is a Prerequisite for the Phagosomal Maturation Block, Infect and Immune. 2008; 76:2882-2887.
  - Glatman-Freedman, A, A. Casadevall Z, Dai, W. R. Jacobs, Jr., A. Li, S. L. Morris, J. A. Navoa, S. et al. Antigenic evidence of prevalence and diversity of Mycobacterium tuberculosis arabinomannan. J Clin. Microb. 2004;42:3225-3231.
  - Towbin H, Staehelin T, Gordon J. Electrophoretic transfer of proteins from polyacrylamide gels to nitrocellulose sheets: procedure and some applications. Biotechnology. 1992; 24: 145-149
  - Duval D, Comparison of various methods for monitoring hybridoma cell proliferation. J immunol, Meth, 1990;134:177-185.
  - Weiner LM, Dhodapkar MV, Ferrone S. Monoclonal antibodies in cancer immunotherapy. Lancet, 2009; 373: 1033-40.
  - Kaufmann SH. Tuberculosis and AIDS- a devilish liaison. Drug Discovery Today. 2007;12: 891-893.
  - Mason, P. R., L. Gwanzura, O. Lowe, and A. H. J. Kolk. The use of monoclonal antibodies to identify mycobacteria grown in culture in Zimbabwe. Tubercle Lung Dis 1993; 74:195-199.
  - Freedman A.G, Martin J M, Riska P F, Bloom B R, Casadevall A, Monoclonal Antibodies to Surface Antigens of Mycobacterium tuberculosis and Their Use in a Modified Enzyme-Linked Immunosorbent Spot Assay for Detection of Mycobacteria, J Clinical Microbiology .1996;34:2795-2802.
  - López Y, Falero-Díaz G, Yero D, Solís R.L, Sarmiento M.E, Acosta. A, Antibodies in the protection against mycobacterial infections: what have we learned? ,Procedia in Vaccinology 2010; 2: 172-177.
  - Glatman-Freedman , Monoclonal antibodies to mycobacterium tuberculosis and a modified ELISA assay, (2003) US patent 6,545,130 B2.